## Разработка системно-фармакологической модели патогенеза при заболевании дерматомиозитом

Киреев Б.В.<sup>1,2,3,4</sup>, Никитич А.А.<sup>1,2,3</sup>, Соколов В.В<sup>2,3</sup>, Песков К.В<sup>1,2,3</sup>, Волкова А.А<sup>2,3</sup>

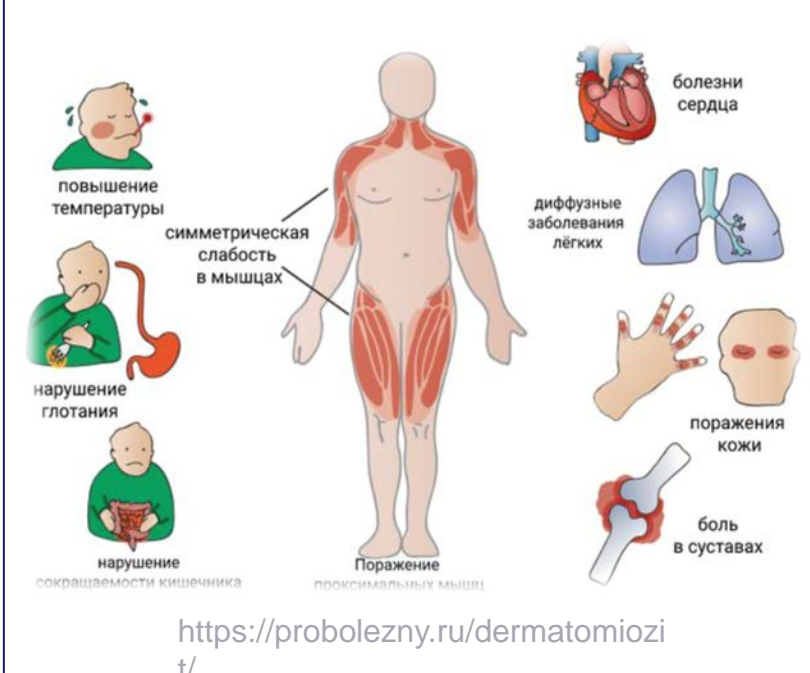
<sup>1</sup>ФГОАУ ВО «Первый Московский государственный медицинский университет им. И.М. Сеченова» Минздрава России, Москва <sup>2</sup>ФГБУН «Институт вычислительной математики им. Г.И. Марчука» РАН, Москва, <sup>3</sup> ООО "СимургФарм", Москва, <sup>4</sup>ФГБОУ ВО «Московский Государственный Университет им. М.В. Ломоносова» Факультет Биоинженерии и Биоинформатики, Москва

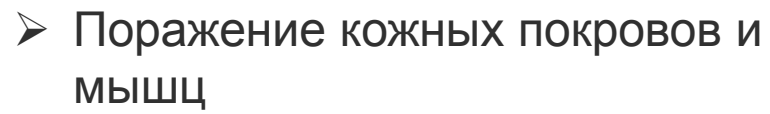


#### Аутоиммунное заболевание дерматомиозит

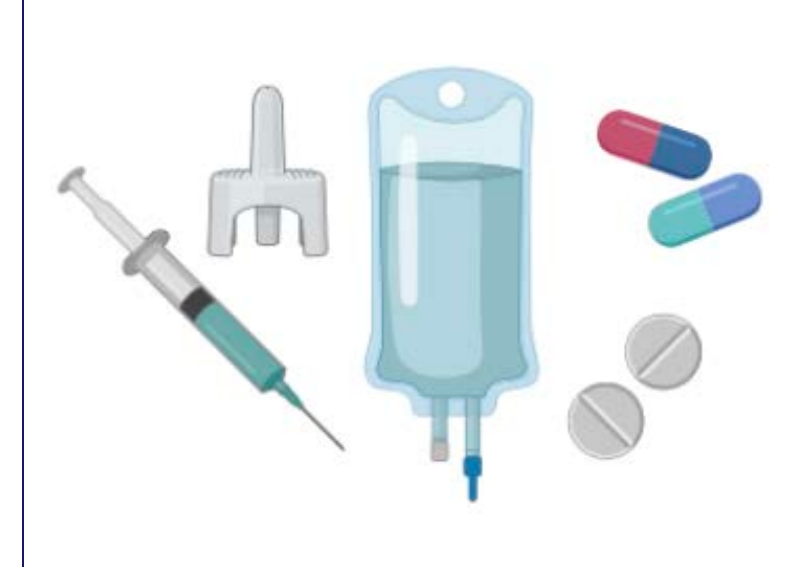


 Аутоиммунные заболевания это группа заболеваний, при которых иммунная система атакует собственные ткани и органы организма





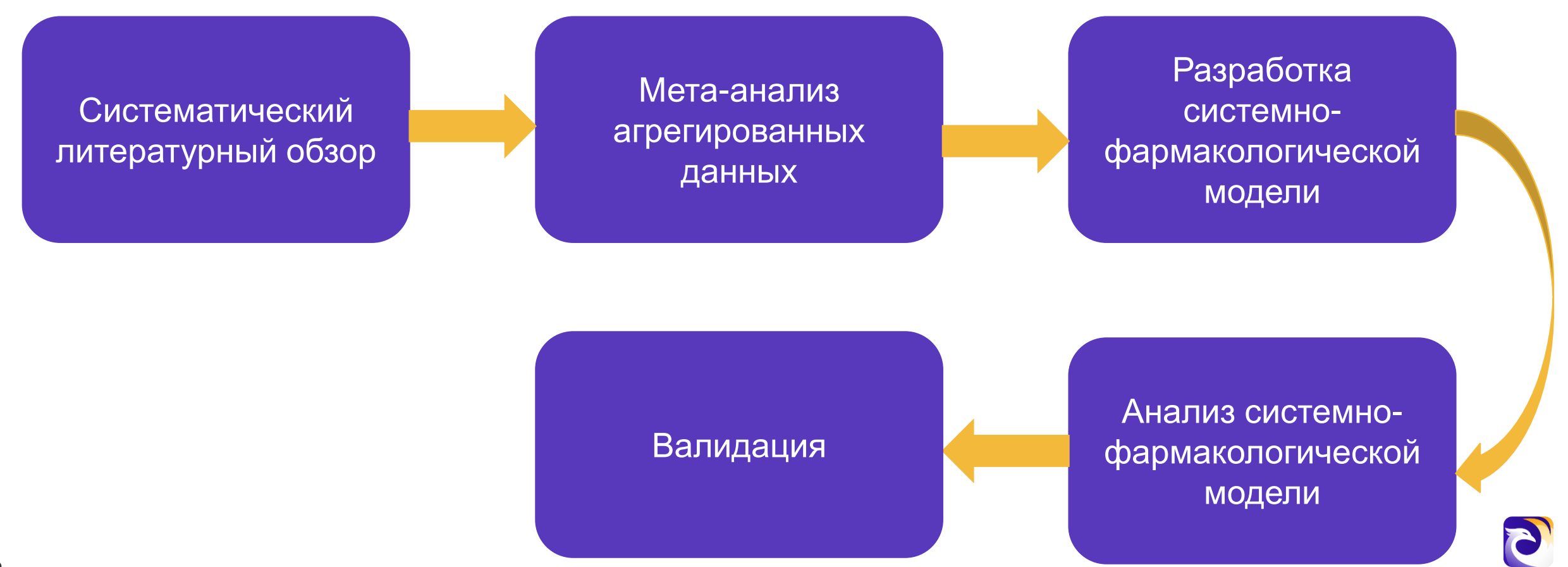
- Генетическая предрасположенность пациентов
- Аутоантитела как прогностический биомаркер



- Неспецифическое действие кортикостероидов
- Серьезные нежелательные явления
- Рефрактерность пациентов

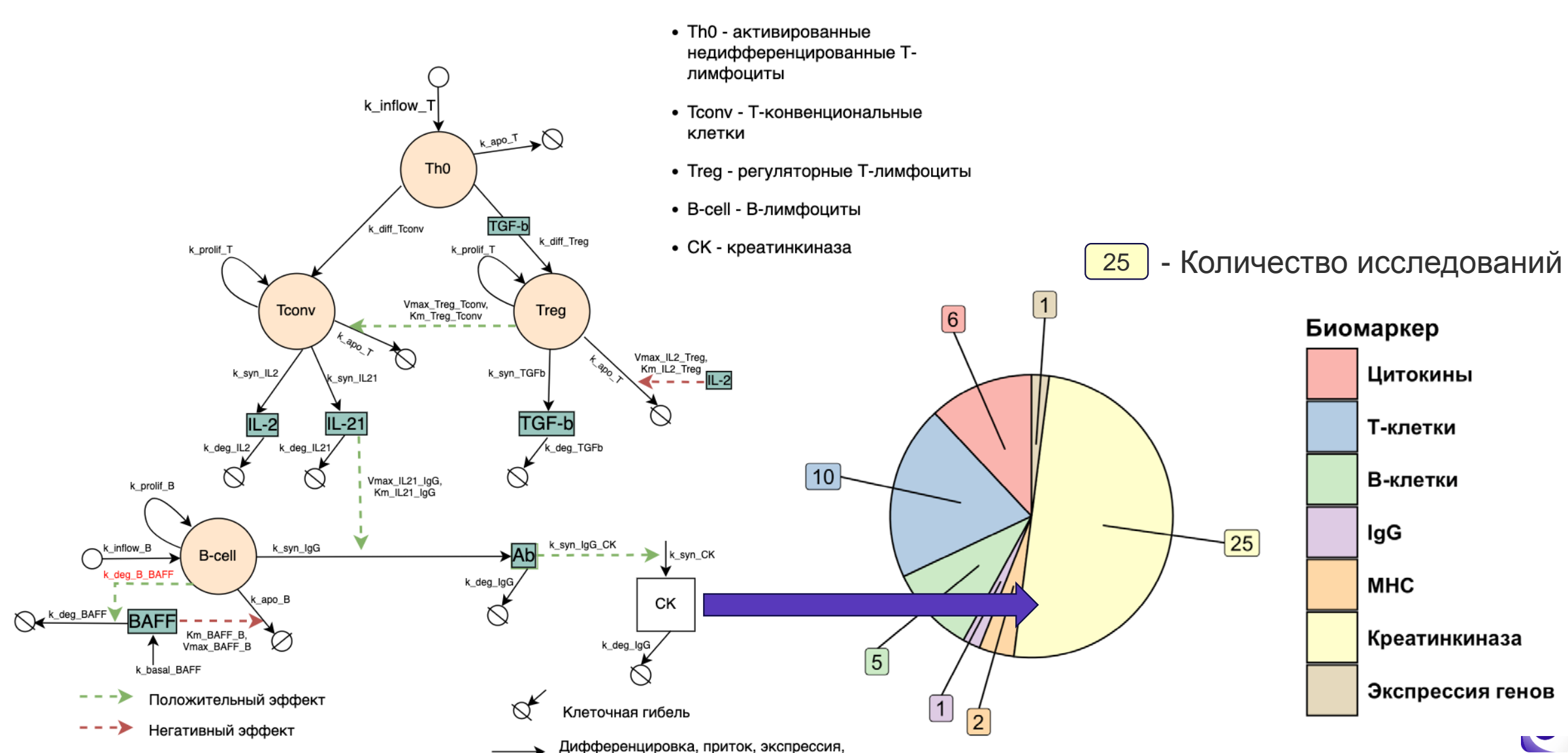
#### Цель и задачи

Разработать системную фармакологическую модель аутоиммунного заболевания дерматомиозит для поиска новых биологических мишеней

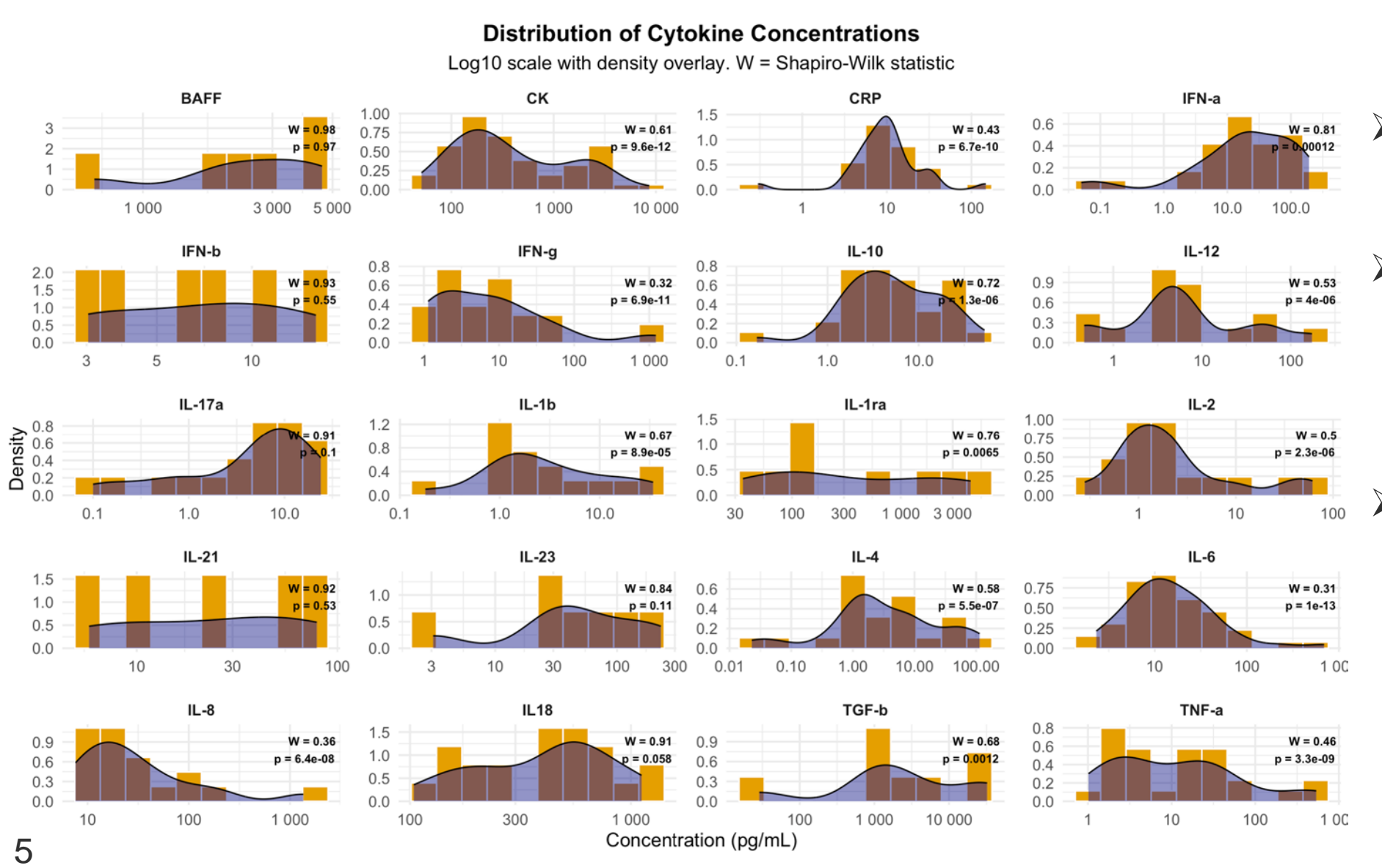


#### Реконструкция патофизиологии дерматомиозита

пролиферация



#### Распределения концентраций цитокинов



- Большие разбросы значений концентрации
- Для большинства цитокинов концентрации распределены нормально
  - Для некоторых исследований меры центральной тенденции были преобразованы с использованием формулы Wan et al

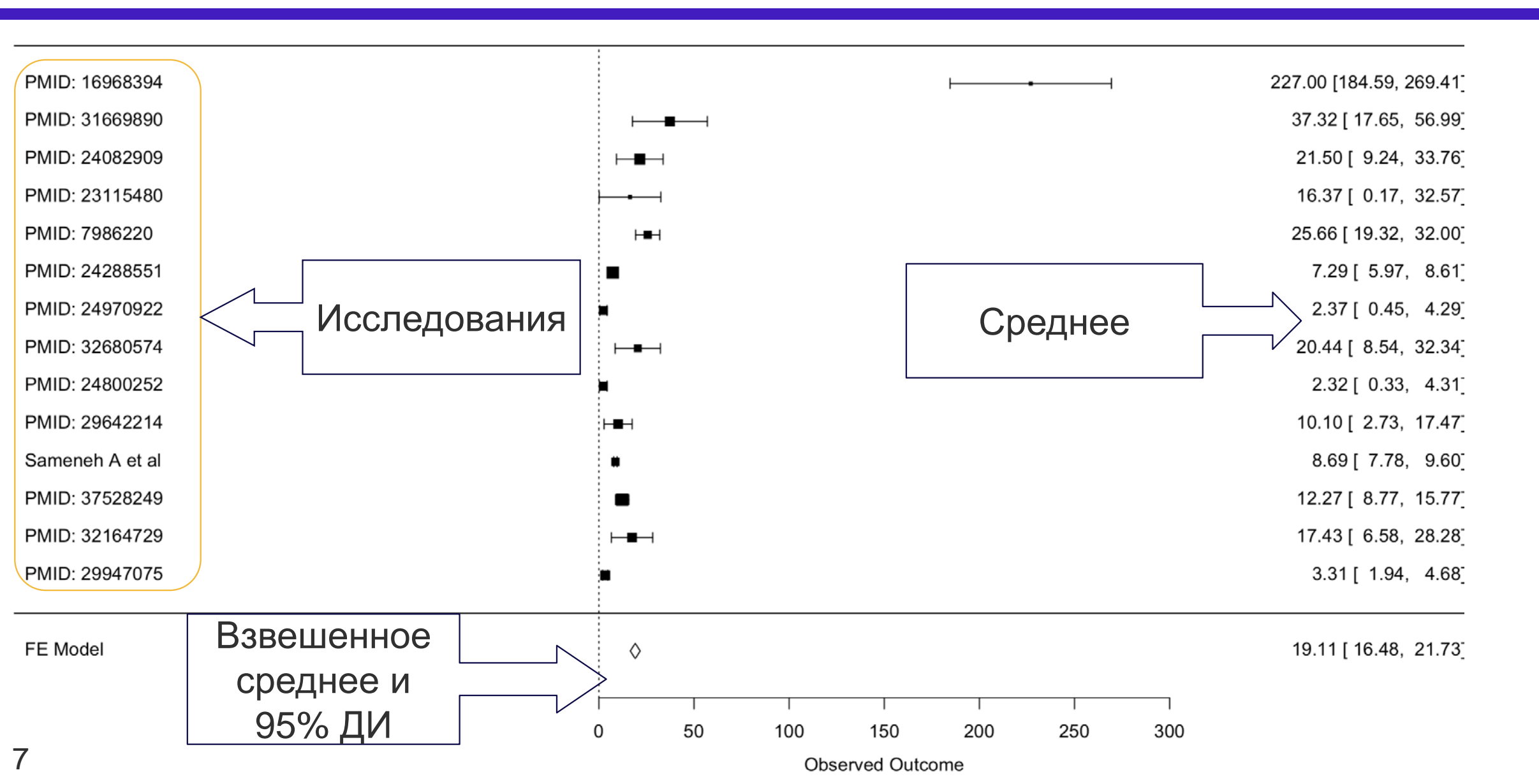


## Мета-регрессия концентраций цитокинов

Цитокин	Независимая переменная	AIC	$I^2$
IFN-a	ILD + DISDUR	207.94	77.854
IFN-g	AGE * DISDUR	9865.98	97.895
IFN-b	No moderators	86.96	79.368
BAFF	AGE	126.07	85.159
BAFF	AGE + DISDUR	114.89	85.423
IL-2	No moderators	1.22e+20	99.993
IL-4	ILD + DISDUR	283773.06	97.623
IL-4	AGE + DISDUR	180095.07	96.735
IL-6	No moderators	10067.13	96.486
IL-8	No moderators	16339.41	91.605
IL-10	AGE	1003701.22	96.469
IL-17a	ILD * DISDUR	2157.86	98.833
TNF-a	DISDUR	443352.66	96.5
TGF-b	DISDUR	2515709.57	99.385
IL-23	ILD * AGE	226.41	96.277
IL-1b	ILD * DISDUR	1065.19	96.995
IL-21	ILD	603.44	98.237



### Оценка взвешенного среднего на примере данных IL-6





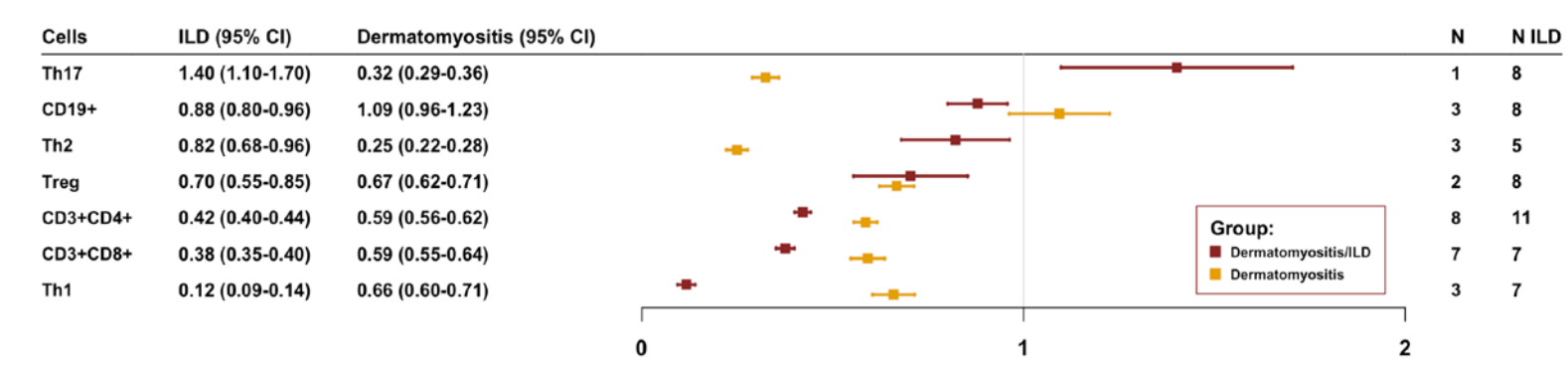
### ИБЛ влияет на уровень провоспалительных факторов

Пациенты с ИБЛ отличаются по характеру воспалительных процессов от классического дерматомиозита и требуют различных подходов к моделированию.

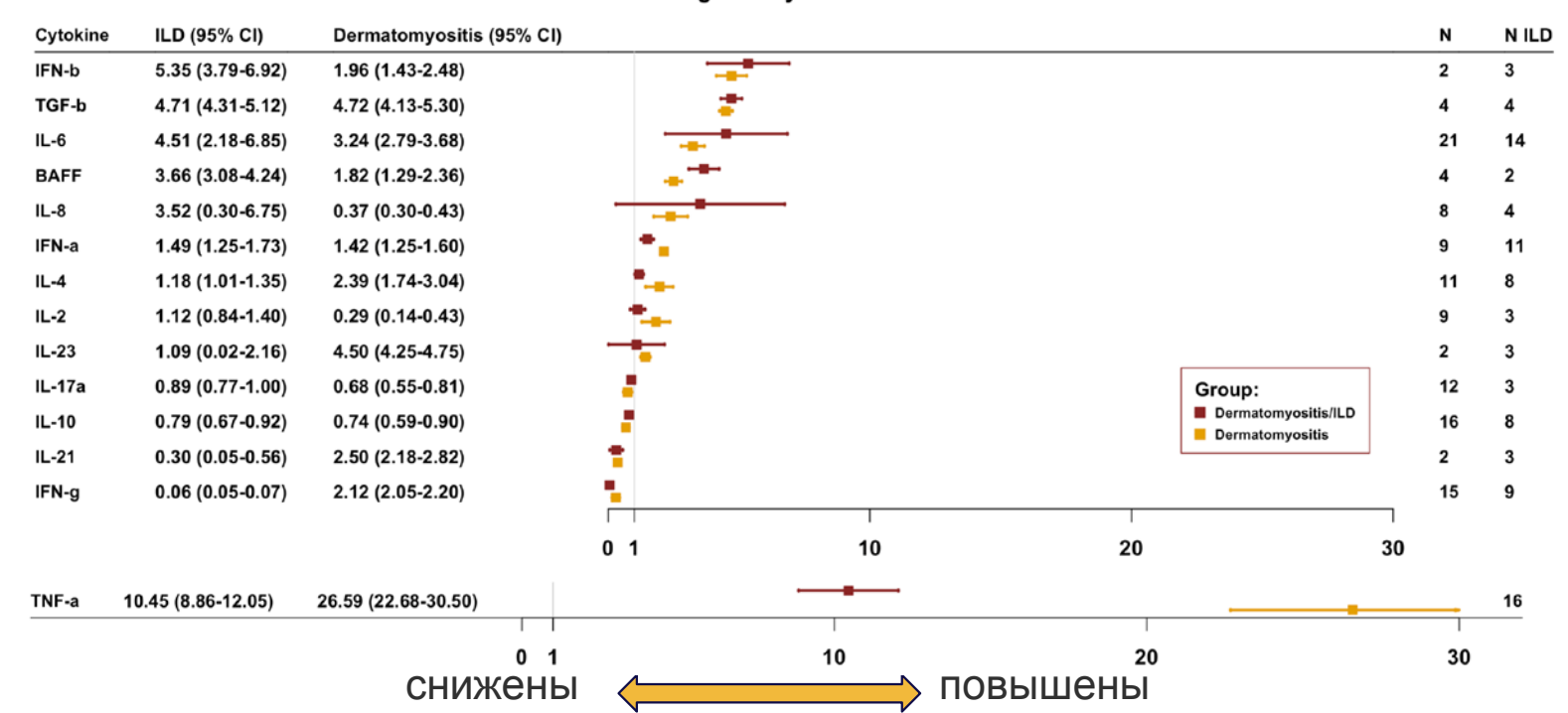


Дальнейшая разработка модели проводится для пациентов с неосложненным ДМ.

#### Relative changes in immune cell levels



#### Relative changes in cytokine concentrations



#### Математическая модель

$$\frac{dTh_0}{dt} = k_{Th0}^{inflow} - k_{diff}^{Tconv} * Th_0 - k_{diff}^{Treg} * Th_0 * (1 + TGFb) - k_{apoptosis} * Th_0$$
(1)
$$\frac{dT_{conv}}{dt} = k_{diff}^{Tconv} * Th_0 + k_{prolif} * T_{conv} - \frac{V \max_{Treg}^{Tconv} * Treg}{Km_{Treg}^{Tconv} + Treg} * T_{conv} - k_{apoptosis} * T_{conv}$$
(2)
$$\frac{dT_{reg}}{dt} = k_{diff}^{Treg} * Th_0 * (1 + TGFb) + k_{prolif} * T_{reg} - k_{apoptosis} * T_{reg} * (1 - \frac{V \max_{IL2}^{Treg} * T_{reg}}{Km_{IL2}^{Treg} + T_{reg}}) * IL2$$
(3)
$$\frac{dB}{dt} = k_{inflow}^{B} + k_{prolif}^{B} * B * (1 + \frac{V \max_{CD40L}^{B} * CD40L}{Km_{CD40L}^{B} + CD40L}) - k_{apoptosis}^{B} * B * (1 - \frac{V \max_{BAFF}^{B} * BAFF^2}{Km_{BAFF}^{B} + BAFF^2})$$
(4)

$$\frac{dIgG}{dt} = k_{syn}^{IgG} * B* (1 + \frac{Vmax_{IL21}^{IgG} * IL21}{Vmax_{IL21}^{IgG} + IL21}) - k_{deg}^{IgG} * IgG \quad (5)$$

$$\frac{dCK}{dt} = k_{syn}^{CK} * (1 + k_{inflow}^{CK_{IgG}} * IgG) - k_{deg}^{CK} * CK \quad (6)$$

$$\frac{dTGFb}{dt} = k_{syn}^{TGFb} * TGFb* (1 - \frac{TGFb}{K}) - k_{deg}^{TGFb} * TGFb \quad (7)$$

$$\frac{dIL2}{dt} = k_{syn}^{IL2} * T_{conv} - k_{deg}^{IL2} * IL2 \quad (8)$$

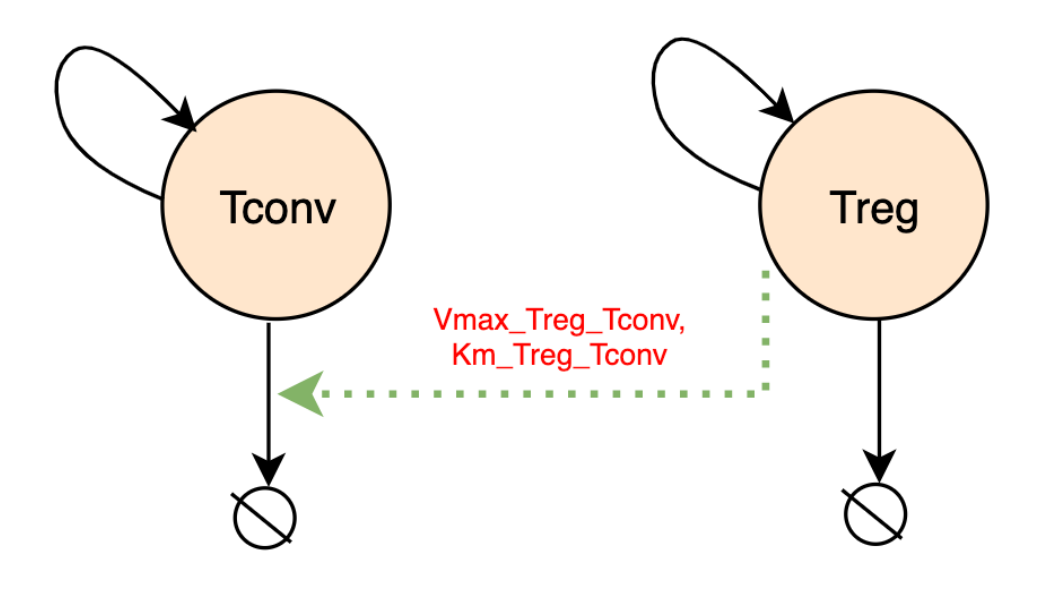
$$\frac{dIL21}{dt} = k_{syn}^{IL21} * T_{conv} - k_{deg}^{IL21} * IL21 \quad (9)$$

$$\frac{dBAFF}{dt} = k_{basal}^{BAFF} - k_{deg}^{BAFF} * BAFF* (1 + k_{deg}^{BAFFB} * B) \quad (10)$$

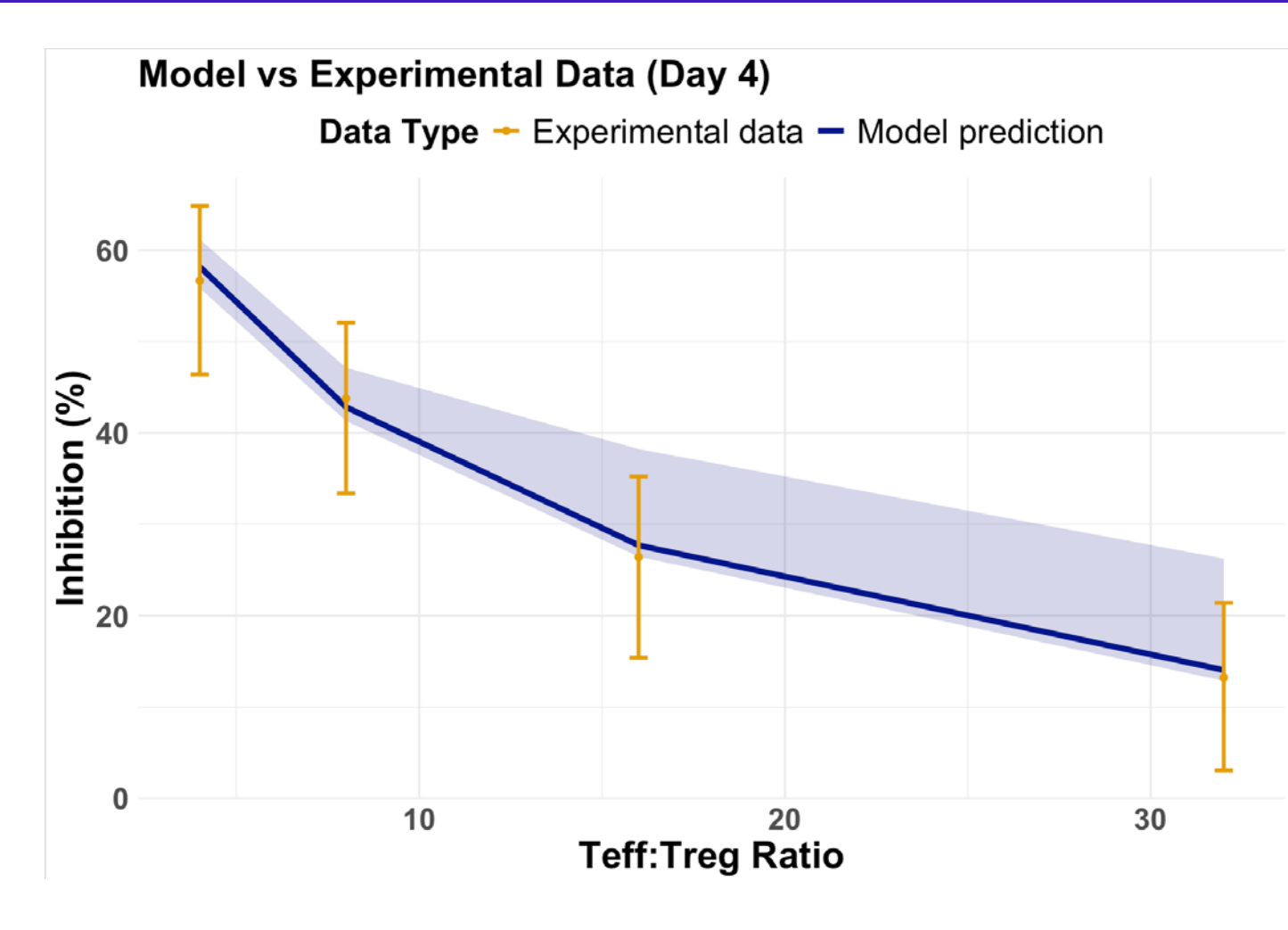
9 параметров – зафиксированы 10 параметров – численная оценка на in vitro/in vivo данных 11 параметров – вычислены исходя из стационарных условий модели



## In vitro параметризация подавления активности Т-хелперов



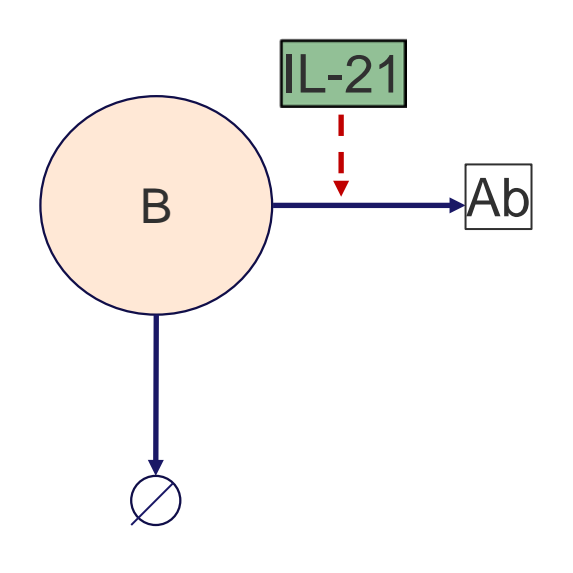
	Значение	RSE
$Vmax_{Treg}^{Tconv}$	0.23	14.1
$Km_{Treg}^{Tconv}$	846.29	43



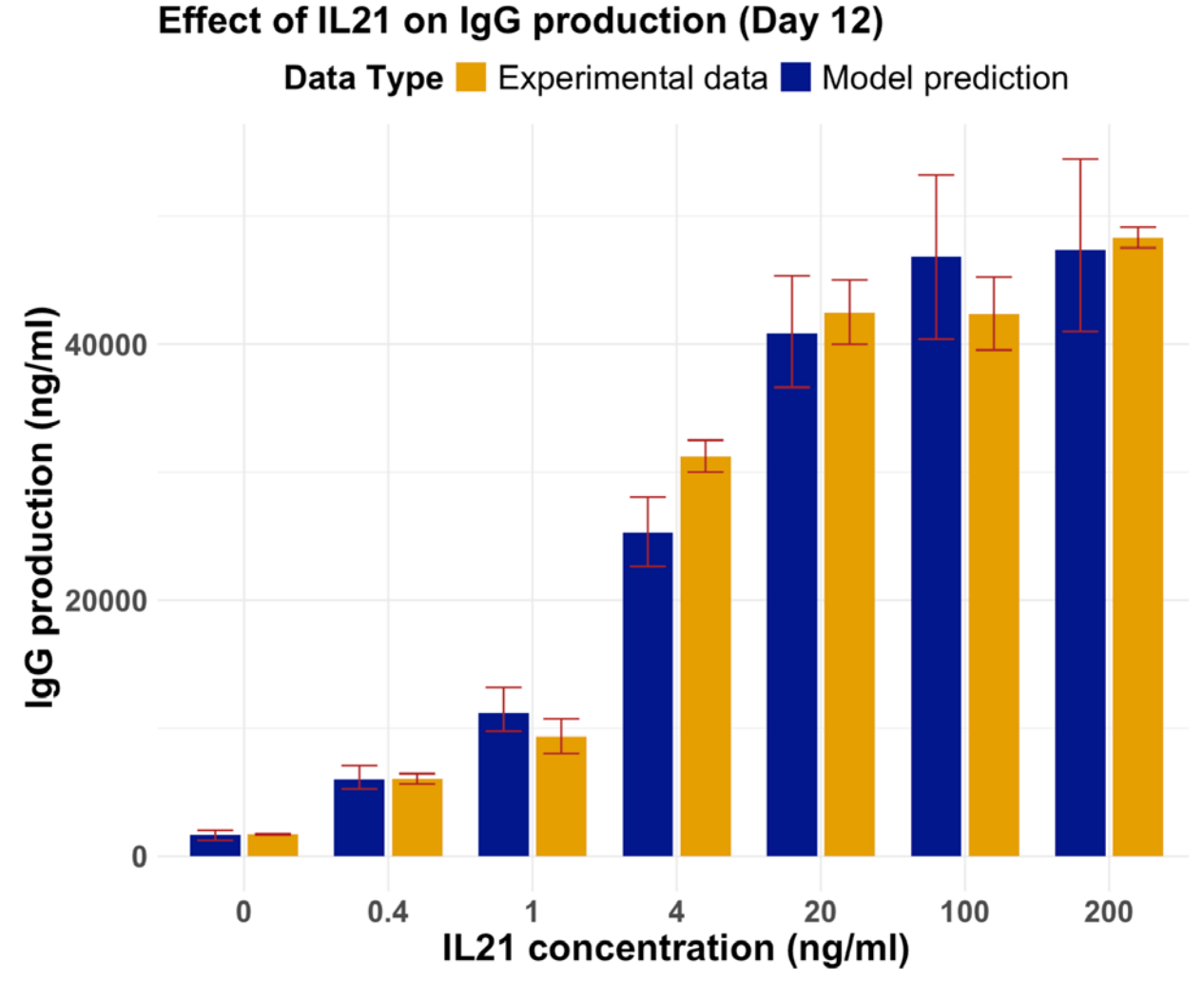
PMID: 21287339



## In vitro параметризация эффекта IL-21 на продукцию IgG



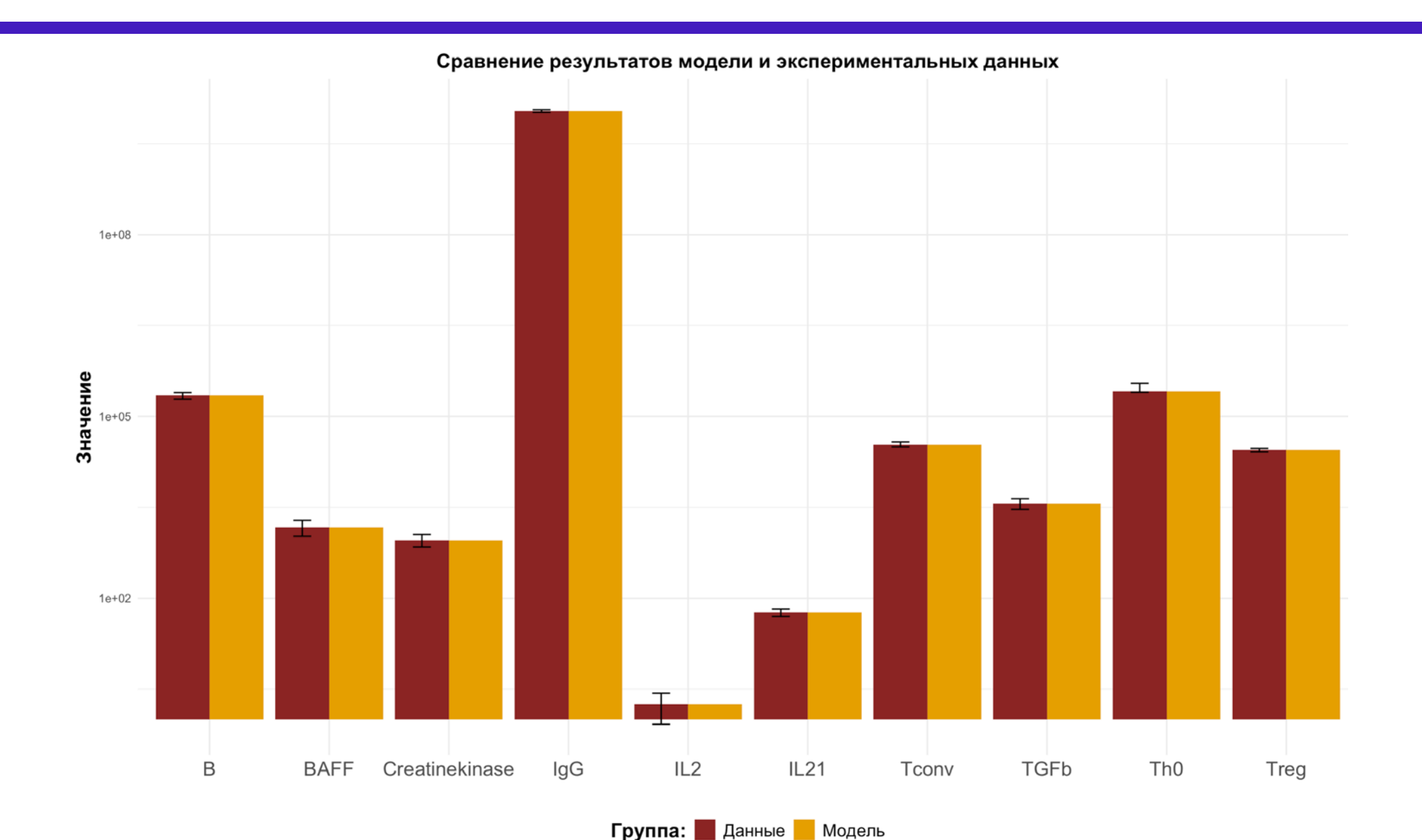
	Значение	RSE
$V_{max_{IgG}}^{IL21}$	28.57	13.1
$K_{m_{IgG}}^{IL21}$	3905.79	15.9



PMID: 15100251

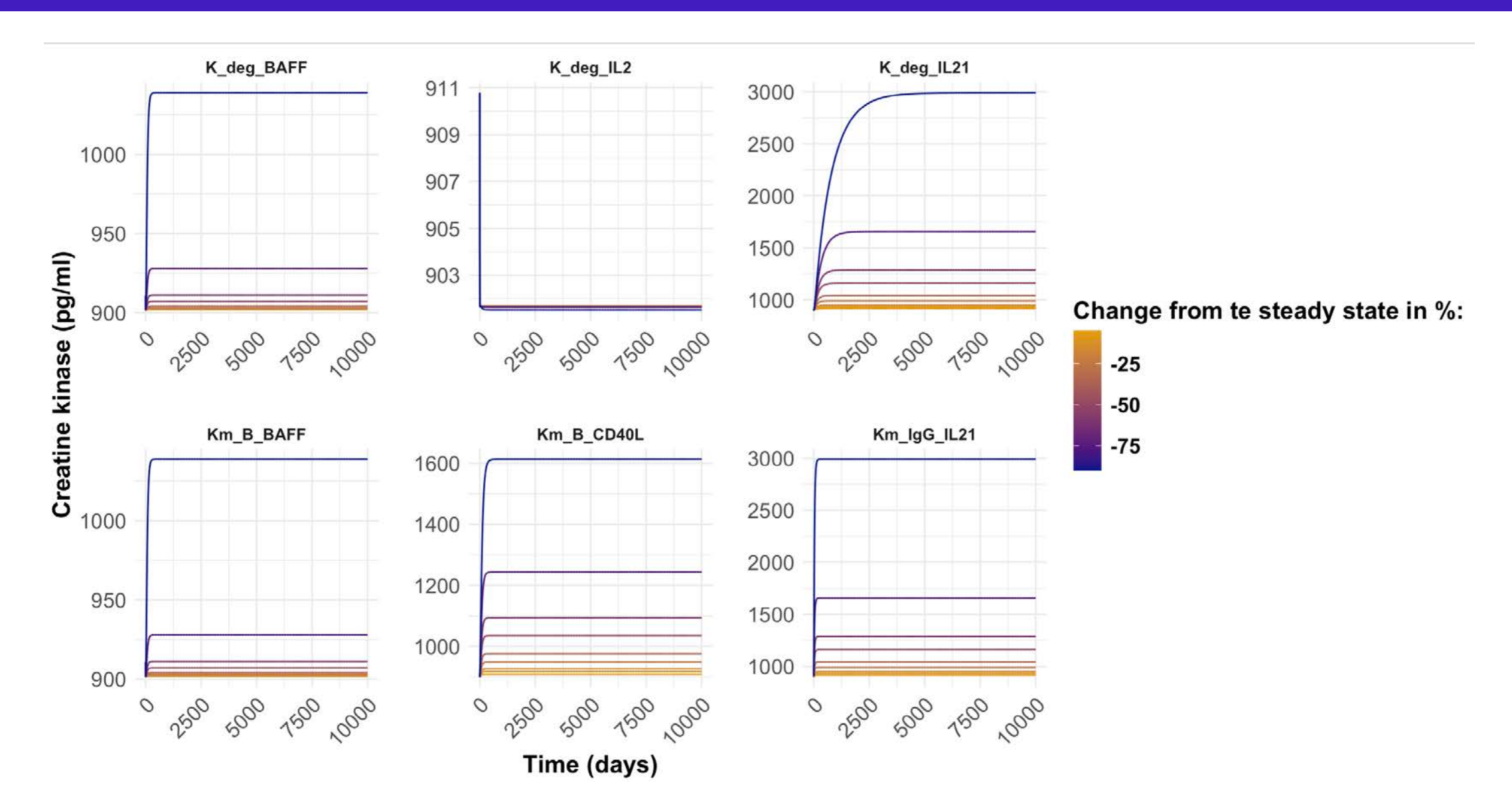


#### Модель описывает стационарные данные



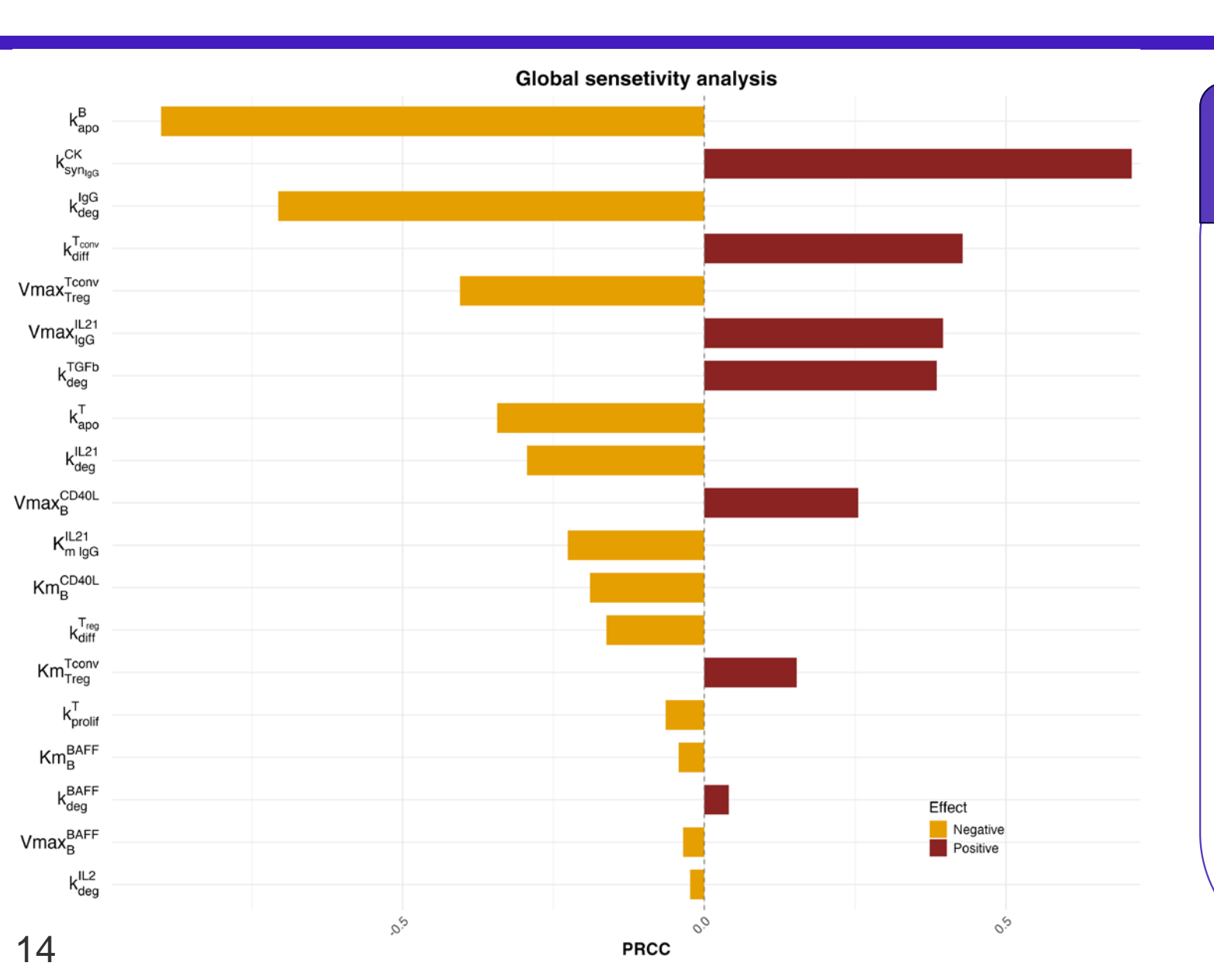


#### Локальный анализ чувствительности





#### Глобальный анализ чувствительности



#### IgG, ИЛ-21 и В-клетки

- •ИЛ-21 и CD40L потенциальная биологическая мишень для лечения дерматомиозита
- •Влияние IgG на уровень креатинкиназы подтверждается эффектом IVIG терапии
- •Терапии направленные на В-клетки могут оказывать сильный эффект (Ритуксимаб)
- •Система не чувствительна к BAFF, что подтверждается отсутствием эффективности препарата анти-BAFF (Белимумаб)

#### Выводы

- На основе литературного поиска составлена схема иммунных процессов дерматомиозита и собраны данные уровней иммунных клеток и цитокинов в плазме крови
- Проведен мета-анализ агрегированных данных, с помощью которого определены взвешенные средние уровней иммунных клеток и цитокинов у пациентов с ДМ.
- Построена математическая модель дерматомиозита, представляет собой систему ОДУ из 10 уравнений и включает 30 параметров.
- Анализ модели позволил сформулировать следующие выводы:
  - 1. В-клетки и аутоантитела вносят существенный вклад в патогенез
  - 2. IL-21 и CD40L могут выступать потенциальными биологическими мишенями для разработки лекарственных препаратов
  - 3. BAFF не влияет на уровень креатинкиназы, что согласуется с низкой эффективностью анти-BAFF терапии при дерматомиозите

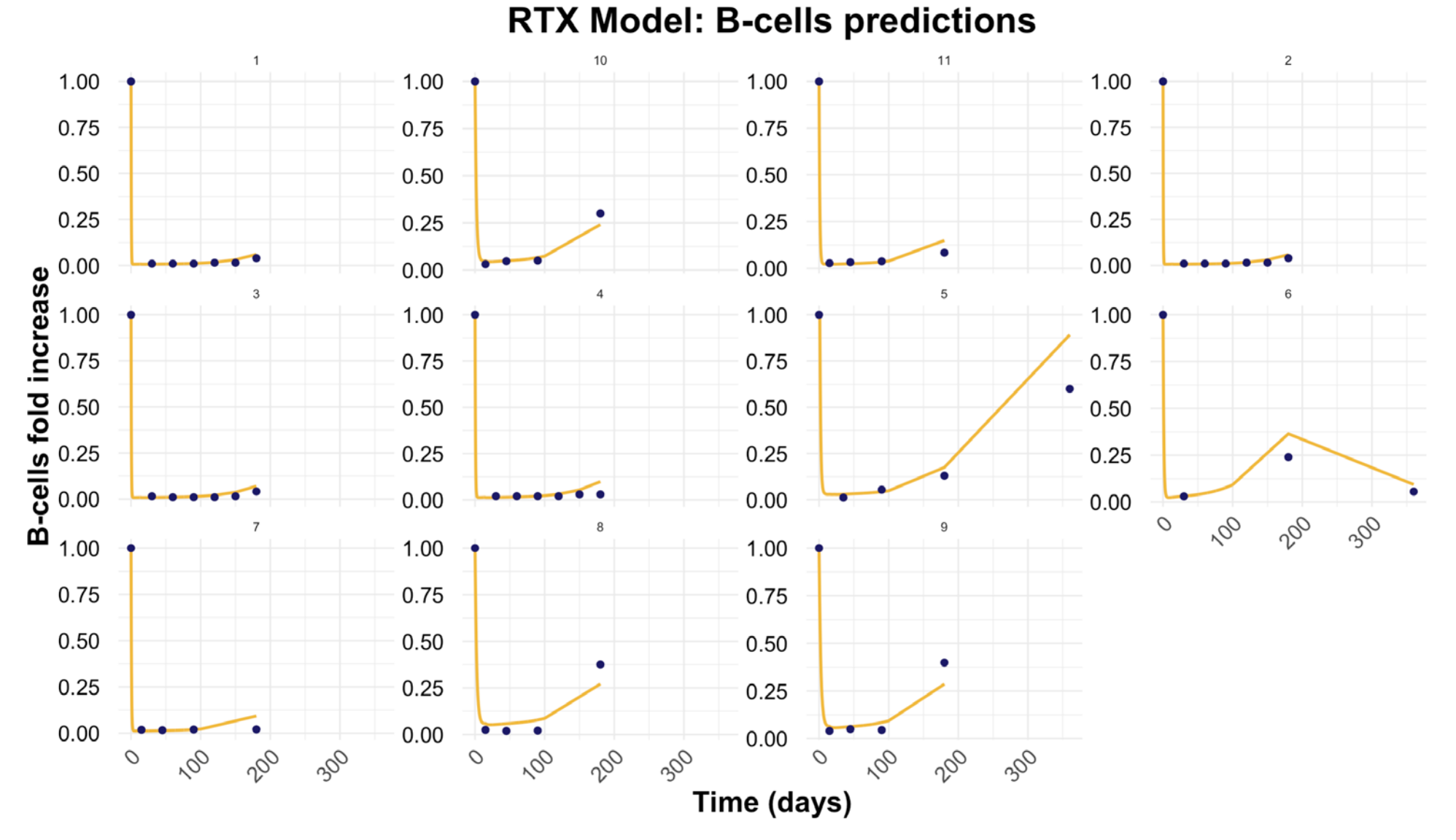


## Спасибо за внимание!



# Back up

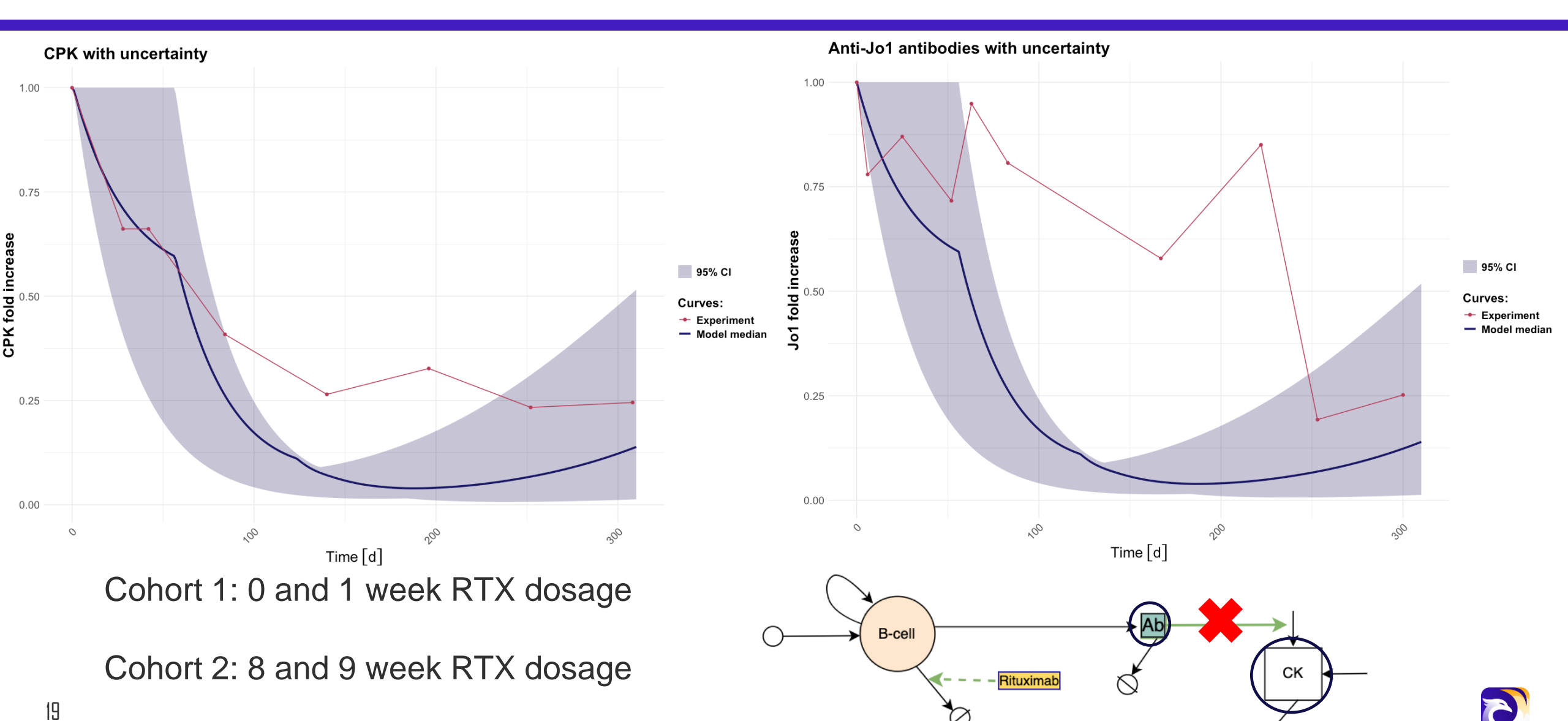
#### Rituximab model calibration



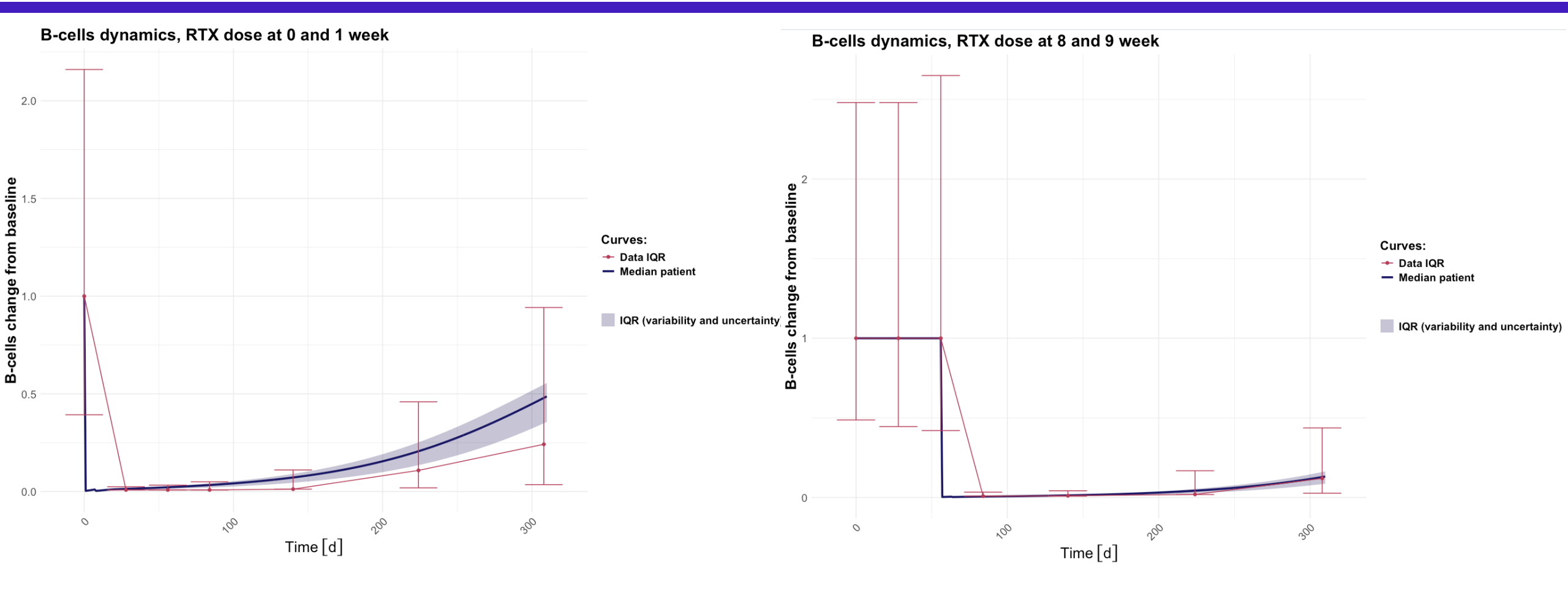


#### Rituximab CPK and autoAb validation

200 patients with IIM (even juvenille)



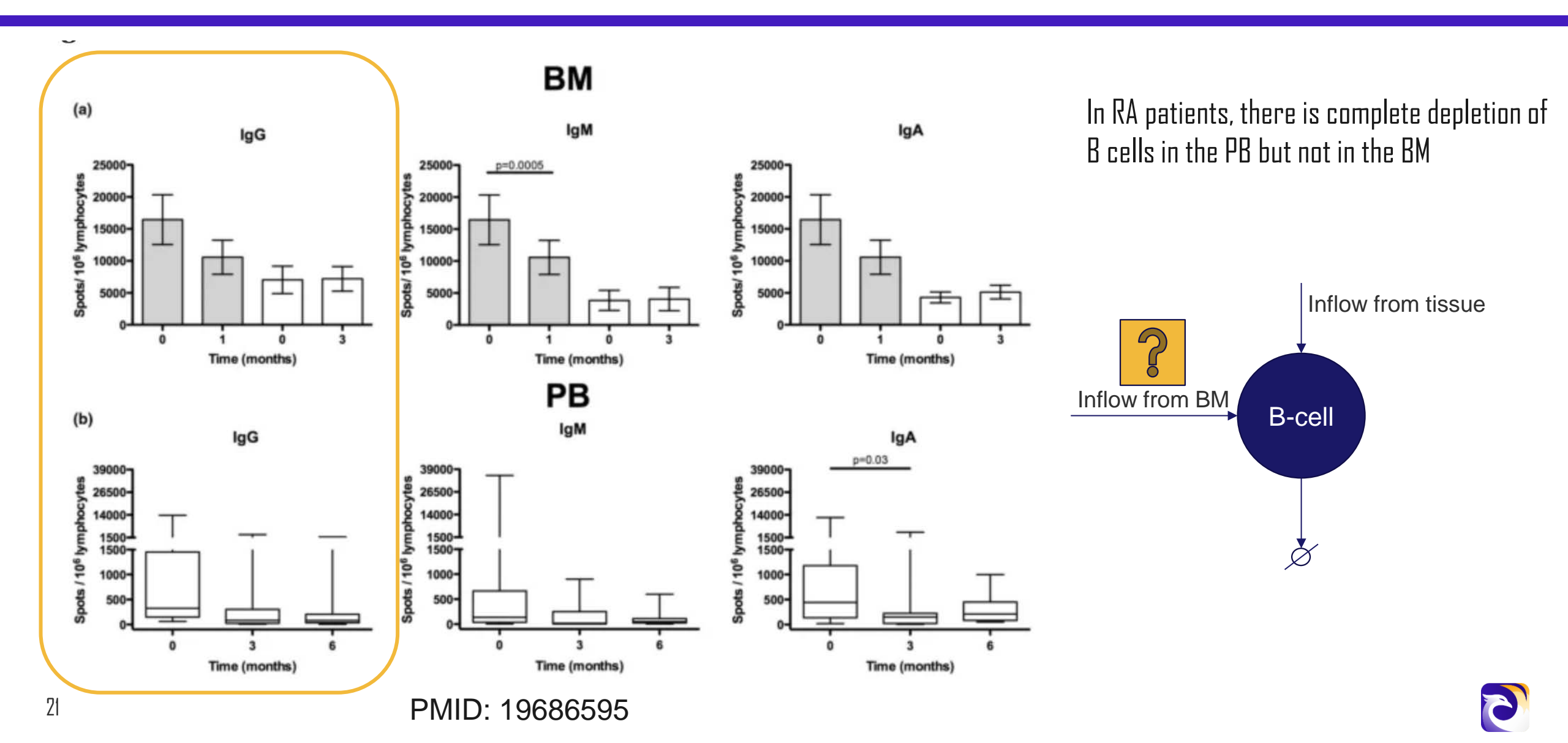
#### Rituximab B-cells validation



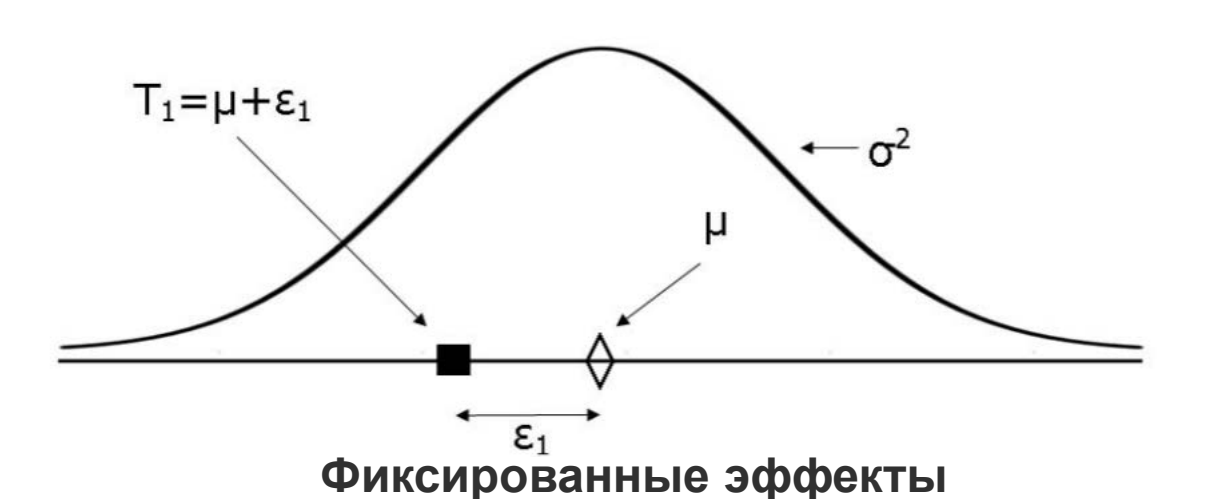
Strong B-cells depletion



# The model does not take into account the behavior of B cells in the bone marrow



#### Методология мета-анализа



1. 
$$T_i = \mu + e_i$$

4. Lower Limit = 
$$\overline{T}_{\bullet}$$
 – 1.96 \* SE( $\overline{T}_{\bullet}$ )

$$2. \quad \overline{T}_{\bullet} = \frac{\sum_{i=1}^{k} w_i T_i}{\sum_{i=1}^{k} w_i}$$

Upper Limit = 
$$\overline{T}_{\bullet}$$
 + 1.96 \*  $SE(\overline{T}_{\bullet})$ 

 $w_i$  - вес исследования (количество пациентов)

$$3. \quad \mathbf{v}_{\bullet} = \frac{1}{\sum_{i=1}^{k} w_{i}}$$

#### Мета-регрессия:

$$\hat{ heta}_k = heta + eta x_k + \epsilon_k$$

#### Для категориальных регрессоров:

$$D_g = \left\{ egin{array}{ll} 0: & ext{Subgroup A} \ 1: & ext{Subgroup B}. \end{array} 
ight.$$



$$\hat{ heta}_k = heta + eta D_g + \epsilon_k$$



# Оценка параметров in vitro

Параметр	Значение параметра	ЕИ	RSE %	PMID
$V_{max}^{BAFF}$	0.49	-	10.3	22792388
$K_m^{BAFF}$	32155	пг/мл	35.6	22792388
$V_{max}^{CD40L}$	1.15		8.38	16391518, 16313359
$K_m^{CD40L}$	57.94	пг/мл	20.4	16391518, 16313359
$V_{max_{IgG}}^{IL21}$	28.57		13.1	15100251
$K_{m_{IgG}}^{IL21}$	3905.79	пг/мл	15.9	15100251
$\mathit{Km}^{\mathit{Treg}}_{\mathit{IL2}}$	114741.76	пг/мл	23.3	31555356
$Vmax_{IL2}^{Treg}$	3.31	-		31555356
$Vmax_{Treg}^{Tconv}$	0.23	-	14.1	21287339
$Km_{Treg}^{Tconv}$	846.29	Клетки/мл	43	21287339

